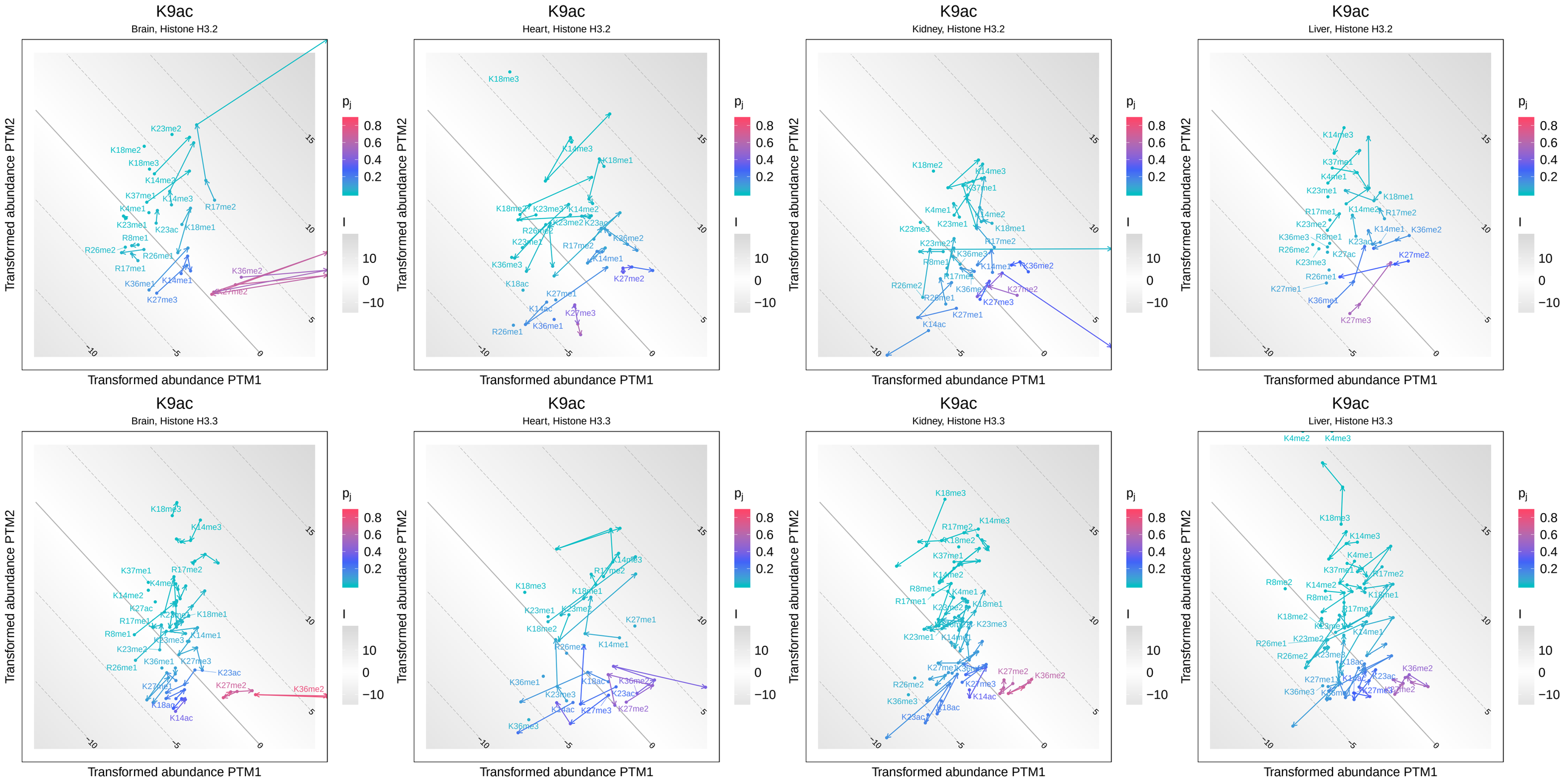
K9ac
Brain, Histone H3.2
K23me2
K18me2
K18me3
K14me2
K37me1
K14me3
K4me1
K23me1
K23ac
K18me1
R17me2
R8me1
R26me2
R26me1
R17me1
K36me1
K14me1
K27me3
K36me2
K27me2
K9ac
Heart, Histone H3.2
K18me3
K14me3
K18me1
K18me2
K23me3
K14me2
K23me2
K23ac
R26me2
K23me1
R17me2
K36me2
K36me3
K14me1
K27me2
K18ac
K27me1
K14ac
K27me3
K36me1
R26me1
K9ac
Kidney, Histone H3.2
K18me2
K14me3
K37me1
K4me1
K14me2
K23me1
K23me3
K18me1
K23me2
R17me2
K36me3
R8me1
K14me1
K36me2
R17me1
R26me2
K36me1
K27me2
R26me1
K27me3
K27me1
K14ac
K9ac
Liver, Histone H3.2
K14me3
K37me1
K4me1
K23me1
K18me1
R17me1
K14me2
R17me2
K23me2
K14me1
K36me2
K36me3
R8me1
K23ac
R26me2
K27ac
K27me2
K23me3
R26me1
K27me1
K36me1
K27me3
K9ac
Brain, Histone H3.3
K18me3
K14me3
K37me1
R17me2
K4me1
K14me2
K27ac
K18me1
R17me1
R8me1
K14me1
K23me3
K23me2
K36me1
K27me3
R26me1
K23ac
K27me2
K36me2
K27me1
K18ac
K14ac
K9ac
Heart, Histone H3.3
K14me3
R17me2
K18me3
K18me1
K23me1
K23me2
K27me1
K18me2
K14me1
R26me2
K36me1
K18ac
K36me2
K23me3
K23ac
K14ac
K27me3
K27me2
K36me3
K9ac
Kidney, Histone H3.3
K18me3
R17me2
K14me3
K18me2
K37me1
K14me2
R8me1
K4me1
R17me1
K18me1
K23me2
K23me3
K23me1
K14me1
K27me1
K36me1
K27me2
K36me2
K27me3
R26me2
K14ac
K36me3
K18ac
K23ac
K9ac
Liver, Histone H3.3
K4me2
K4me3
K18me3
K14me3
K4me1
K37me1
R17me2
R8me2
K14me2
K18me1
R8me1
R17me1
K18me2
K14me1
R26me1
K23me2
R26me2
K23me3
K18ac
K36me2
K27me1
K14ac
K23ac
K36me3
K27me3
K27me2
Transformed abundance PTM1
Transformed abundance PTM2
$p_j$
0.8
0.6
0.4
0.2
I
10
0
−10
−10
−5
0
5
10
15